

(299) 走行誘導加熱に於ける加熱コイル有負荷インピーダンス計算モデル

(鋼管の誘導加熱シミュレーションモデルの開発-3)

新日鐵 生産技研 ○川口 正、園田敏行 新日鐵 工作事業部 神崎 寿
 ツ・本社 市古修身 ツ 名古屋製鐵所 伊藤亜太郎

1. 緒言： 誘導加熱装置に於て、被加熱材を含む加熱コイルのインピーダンスは誘導加熱電源設備の基本設計に最も重要な特性値である。筆者等は、第1報で述べた鋼管の誘導加熱シミュレーションモデルから有負荷インピーダンスを精度よく計算し、設備及び操業の基本検討に資するシミュレーションモデルを開発した。本報でモデルの概要を報告する。

2. 有負荷インピーダンスの計算式及び計算結果：

図1に示すように、コイルがつくる面と直交する磁束 ϕ があると、電磁誘導によりコイル1ターンに生ずる起電力 u は次式で表わされる。

$$u = -\frac{d\phi}{dt} = j\omega\phi, \text{ 但し, } \phi = \phi_m e^{-j\omega t}, \omega = \text{角周波数} \quad (1)$$

実際の加熱コイルが図2に示すようにNターンであれば、コイル両端に生ずる逆起電力 U_c は

$$U_c = \sum_{i=1}^N u_i = \sum_{i=1}^N j\omega\phi_i$$

ここで、

$$\phi_i = \int_0^{r_0} 2\pi r B_z^0(r, z_i) dr + \int_{r_0}^{r_1} 2\pi r B_z^I(r, z_i) dr + \int_{r_1}^{r_2} 2\pi r B_z^I(r, z_i) dr \quad (2)$$

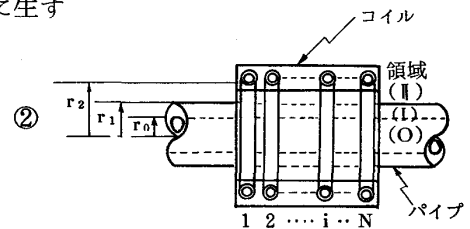
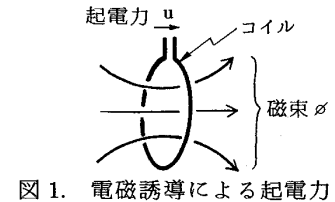


図2. 有負荷加熱コイル

但し、 u_i , ϕ_i , z_i はコイル左端より*i*ターン目での夫々起電力、磁束数、*z*座標、 B_z は磁束密度である。また、 $\int r B_z(r, z) dr = r A(r, z)$ 、及び夫々の領界面でのベクトルポテンシャルAの連続性、即ち $A^0(r_0, z_i) \equiv A^I(r_0, z_i)$, $A^I(r_1, z_i) \equiv A^I(r_1, z_i)$ から、 $\phi_i = 2\pi\omega r_2 A^I(r_2, z_i)$ である。従って、 U_c は次式で表わされる。即ち

$$U_c = \sum_{i=1}^N j 2\pi\omega r_2 A^I(r_2, z_i) \quad (3)$$

$A^I(r_2, z_i)$ は第1報で述べた基本モデル¹⁾の中で計算される。

一方、図3で示す電気回路の等価回路で示される有負荷時のコイルインピーダンス Z_w と供給電流 I_c との積が(4)式で得られる U_c と等しくならなければならぬ。即ち

$$U_c = Z_w \cdot I_c = (R_w + jX_w) \cdot I_c \quad (4)$$

故に、等価抵抗 R_w 、及び等価リアクタンス X_w は(5)式を変形して夫々次式で計算することができる。

$$\left. \begin{aligned} R_w &= \text{Real}(U_c / I_c) \\ X_w &= \text{Imaginary}(U_c / I_c) \end{aligned} \right\} \quad (5)$$

図4は有負荷時の等価抵抗 R_w と等価リアクタンス X_w について実験値と本モデルによる計算値との関係を示す。図4に示す如く計算値と実験値は良く一致することが確認された。

3. 結論： 高精度の有負荷コイルインピーダンス計算モデルを開発し、設備及び操業の基本検討に有効であることが確認された。

4. 文献： 1) 川口ら： 鉄と鋼, 65(1979)4, S 274

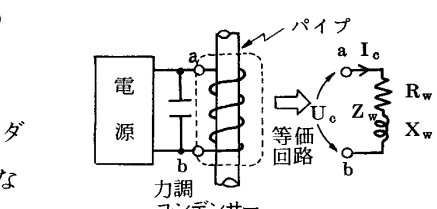


図3. 有負荷加熱コイルの等価回路

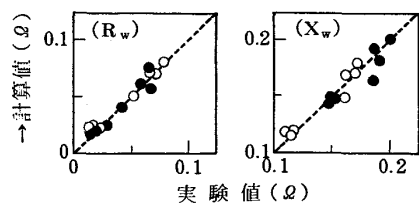


図4. R_w , X_w の実験値と計算値との対応